

高張力鋼 熔接時의 問題點

金 永 植

<韓國海洋大學·工博>

1. 序 言

高張力鋼이란 熔接性을考慮한 引張強度 50 kg/mm^2 以上의 低炭素, 低合金의 構造用鋼을 말하는 것으로 HT50, HT60, HT70, HT 80 等을 보통 使用하나, HT 100 혹은 그 以上的 強度를 갖는 鋼材도 特殊用途로 開發, 使用되고 있다. 이와 같은 高張力鋼을 使用함으로서 構造物의 重量輕減, 材料의 節約 및 熔接工數의 短縮化를 도모할 수 있으며, 또한 構造物을 經濟的으로 製作할 수 있고, 나아가서 構造物의 使用性能을 向上시킬 수 있는 利點이 있다. 그러나 使用된 鋼材의 強度가 增加하게 되면一般的으로 熔接性이 문제로 되고, 熔接部의 脆化度가 增加하게 되므로, 高張力鋼材 熔接構造物의 경우, 信賴性과 安全性 確保가 特히 重要的 課題로 되어 있다.

高張力鋼材 熔接時의 問題點으로는 熔接균열, 熔接部의 脆化, 라엘라티어(lamellar tear) 等을 들 수 있다. 이러한 問題點들은 最近들어 構造物의 더욱 가혹한 使用條件에 부응하기 위해 以前보다 높은 強度의 高張力 鋼材가 出現하게 되고, 構造物의 大型화에 따라 熔接時의 拘束條件이 增大되며, 또한 熔接能率을 向上시키기 위해 大入熱 熔接法이 널리 使用됨에 따라 더욱 큰 問題點으로 指摘되고 있다.

本稿에서는 이러한 高張力鋼材 熔接時 問題點과 그 對策에 對해 說明하고자 한다.

2. 熔接균열

高張力鋼 熔接時 發生되는 熔接균열은 主로 M_{α} 點 또는 약 300°C 以下에서 일어나는 균열로, 熔接後 數分에서부터 數日後에 이르는 사이에 發生하며, 結晶粒內 및 粒界의 어느 쪽이나 전파한다. 그 形態는 루우트 균열(root crack), 비이드밀 균열(under bead crack), 토우균열(toe crack) 等 여러가지로 分類되나¹⁾, 그 本質은 水素가 應力集中部의 空孔이나 非金屬性 介在物의 周圍에 集中하여, 應力說 또는 轉位論의 水素脆化 機構에 依해 發生하는, 水素에 依한 遲延균열(delayed cracking) 現象으로 알려져 있다. 이의 基本的인 原因으로서는 (1) 熔接後의 硬化組織, (2) 熔接時에 侵入하는 水素 및 그擴散, (3) 熔接이음부에서 發生하는 拘束應力의 要因을 들 수 있다. 熔接균열은 熔接時 熔接部에 發生되는 拘束應力이 (1), (2) 항과 같은 要因들의 相關關係에 依해 決定되는 균열 發生에 對한 材料의 抵抗力(균열 發生 限界 應力)보다 를 때에 發生한다고 볼 수 있다. 그러므로 熔接균열을 防止하기 为了해서는 이들 要因에 對한 檢討와 對策이 必要하다.

2.1. 熔接熱影響部의 組織

熔接熱影響部의 균열은 經驗的으로 硬化度가 클수록 發生하기 쉽다는 概念下에 熔接熱影響部의 硬度가 熔接균열의 指標로 使用되어 왔다. 이러한

한熱影響部의 硬度는 鋼材의 化學成分과 熔接時의 高溫으로 부터의 冷却速度(540°C에서의 冷却速度나 800°C로 부터 500°C까지의 冷却時間)을 利用한다에 依해 決定된다.

鋼材의 化學成分이 硬化에 미치는 영향을 定量的으로 나타내는 것으로서 몇개의 炭素當量(Ceq)式이 提案되어 있다. 가장 널리 使用되고 있는 JIS 規格에 規定된 Ceq式을 表示하면 다음과 같다.

$$\text{Ceq} = \text{C} + 1/24 \text{Si} + 1/6 \text{Mn} + 1/40 \text{Ni} \\ + 1/5 \text{Cr} + 1/40 \text{Mo} + 1/14 \text{V} (\%)$$

그러나 硬化性이 큰 것은 熔接균열 感受性이 크다는 것이 事實이나, 硬化性과 熔接균열 感受性과는 반드시一致하지 않는다는 觀點에서 熔接균열 試驗結果로부터 導出한 다음과 같은 熔接균열 感受性組成에 關한 當量式이 提案되어 있다.

$$\text{P}_{\text{CM}} = \text{C} + 1/30 \text{Si} + 1/20 \text{Mn} + 1/20 \text{Cu} + 1/60 \text{Ni} \\ + 1/20 \text{Cr} + 1/15 \text{Mo} + 1/10 \text{V} + 5 \text{B} (\%)$$

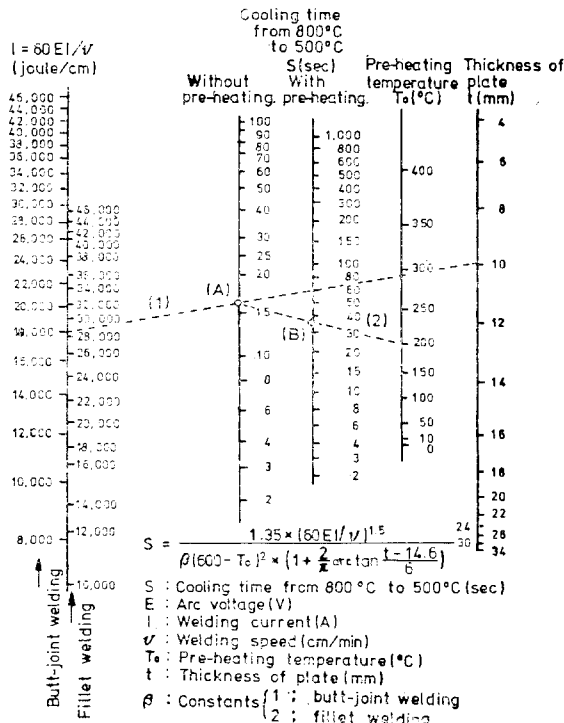


그림 1 피복아아크 용접에 있어서 800°C로부터 500°C까지의 冷却時間을 추정하는 모노그래프 및 추정식.

이 式은 熔接균열 感受性을 잘 나타내는 것으로 利用되어 一部의 規格에 採用되고 있으나 그 適用範圍에 注意할 必要가 있다.

한편 熔接部의 冷却速度에 依해 熔接部의 硬化性은 또한 크게 영향을 받는다. 그러므로 CCT(連續冷却變態)曲線으로 부터 균열發生限界冷却曲線을 求하는 것이 檢討되고 있다. 一般的으로 熔接熱影響部의 組織이나 硬度는 800°C로부터 500°C까지의 冷却時間에 依해 推定할 수가 있으므로 各種 熔接施工 條件下에서의 上記의 冷却時間을 推定하는 實驗式 및 모노그래프가 求해져 있다. 따라서 이들을 利用하면 適切한 施工條件를 決定할 수 있다. 피복아아크용접 경우의 例를 그림 1에 보인다²⁾.

以上과 같은 考察에서 熔接균열을 防止하기 为해서는 熔接熱影響部의 硬度를 낮추는 方法으로 그 材料選擇時는 Ceq 값이나 P_{CM} 값이 낮은 것을 選擇해야 되고 또한豫熱이나 入熱條件을 調整하여 冷却速度를 느리게 하는 것이 必要하다는 것을 알 수 있다.

2.2. 熔接部의 水素量

高張力鋼材의 熔接균열은 熔接時 熔接部에 混入되는 水素量에 依해 크게 影響을 받으므로 이의 適切한 對策이 세워져야 한다. 熔接균열에 미치는 水素영향의 特色은 균열 發生時까지의 潛伏期間을 수반하는 것이다. 그러므로 水素量을 어느 限界值 以下로 減少시켜 潛伏期間을 無限히 길게 하면 균열을 防止할 수 있게 된다. 또한 熔接後 熔接部의 水素를 빨리 放散시킴으로서 水素脆化的 여유를 주지 않도록 하는 것도 熔接균열을 防止하는 한 方法이다.

熔接金屬에 侵入하는 水素源으로서 가장 큰 것은 吸濕에 依한 プレックス(또는 被覆劑)中의 水分과 그리고 熔接분위기인 大氣中의 水分을 들 수 있다. 따라서 初期水素量을 적극적으로 작게 하기 为해서는 プレックス를 使用하지 않는 가스시일드(gas shield) 熔接이 有力한 手段으로 되어 있고, 實際로 이 경우 熔接部의 水素量은 잘 乾燥된 被覆棒의 경우의 數分의 1 程度이다. 그

러나 모든 이음부를 가스 시일드 熔接法으로 한다는 것은 經濟性, 또 다른 缺陷의 存在 可能性, 및 作業能率面에서 困難한 일이므로 被覆棒을 利用한 手動熔接에 있어서의 銀연 防止對策이 가장 重要한 問題點으로 되어 있다. 그림 2는 乾燥狀態의 熔接棒을 各種溫度의 大氣中에서 熔接하여 熔着金屬中의 擴散性 水素量을 測定한 것으로, 熔接분위기로부터의 水素侵入樣相을 보인 것이다³⁾. 이에 依하면 熔接時의 分위기는 擴散性水素에 빛은 영향을 미치며 그로 因해 熔接銀연 發生에 빛은 영향을 미치는 것이 밝혀졌다⁴⁾.

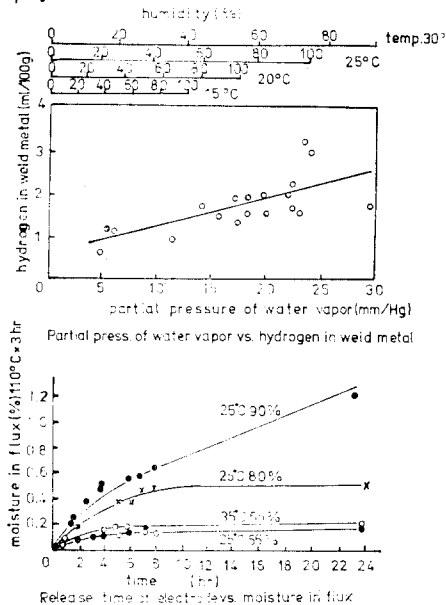


그림 2 HT 80 級 용접금속의 확산성수소량과 습도의 관계.

일단 熔接金屬中에 混入된 水素를 빨리 減少시키는 가장一般的인 方法은豫熱이다.豫熱은 母材의 初期溫度를 常溫보다 높게 유지함으로서 熔接後의 冷却를 완만하게 하여, 熔接金屬을 長時間 高溫에 유지하여 水素放散을 도모하는 것으로, 熱影響部의 硬度를 低下시키는 効果도 아울러 나타나서, 熔接銀연이 防止된다. 後熱도 또한 水素를 放散시키는 有力한手段으로 應力除去 플립의 2次的 効果의 하나로서 水素放散을 들 수 있다. 後熱條件으로서 熔接殘留應力を

緩和시킬만큼 높은 溫度가 아니라도 熔接直後에 熔接部를 加熱하는 것은 熔接金屬中의 水素量減少에 크게 도움이 된다.

2.3. 熔接部의 拘束條件

熔接은 局部的으로 加熱 冷却되기 때문에 熔接部에 內部應力과 收縮變形을 가져온다. 또한一般構造物에서는 빛은 작든간에 變形이 拘束되어 熔接이음매에는 拘束에 依한 拘束應力이 發生한다. 變形을 拘束하는 程度에 따라 熔接部에 크고 작은 拘束應力이 發生하여 熔接性(weldability)이 良好한 材料라도 熔接銀연이 發生하는 수가 있다. 따라서 實際로 熔接銀연을 防止하기 為해서는 實構造物에서 發生할 수 있는 應力 또는 스트레인을 豫測하여 熔接部에서의 熔接銀연에 對한 抵抗力이 이보다 크도록 材料의 選擇이나 施工條件를 決定하지 않으면 안된다.

實際構造物에서의 熔接이음부의 拘束度의 例를 表 1에 보인다⁵⁾.

表 1 實構造物에 있어서 熔接部의 拘束度.

熔接이음의 位置	板두께 h(mm)	拘束度* (kg/mm·mm)	비 고
船體構造			
橫隔壁	16	1,640	분활용접
縱隔壁	13.5	1,260	
船側外板	20	890	$l=80\text{mm}$
船底外板	28	690	
橋梁			
角용접(箱形部材)	50~75	900~1980	분활용접
다이아플랩과 웨브	19~38	200	$l=100\text{mm}$
다이아플랩과 플랜지	25~50	700	}연속용접
球形탱크	32	830~1200	연속용접

* 拘束度: 용접이음매의 그루브 간격을 單位 길이 變化시키는데 필요한 單位 용접 길이當의 힘

熔接이음매에 實際に 가까운 拘束條件를 再現하여 銀연 發生 限界 條件을 評價하는 試驗法으로 여러가지 方法이 提案되어 있다. 그 中에서 맞대기이음 熔接銀연 試驗法으로 많이 利用되고 있는 y 그루브슬릿(slit) 拘束銀연 試驗과 필렛

□ 解說

熔接균열 試験法으로 利用되고 있는 CTS(controlled thermal severity)試験法의 概要를 그림 3에 보인다.

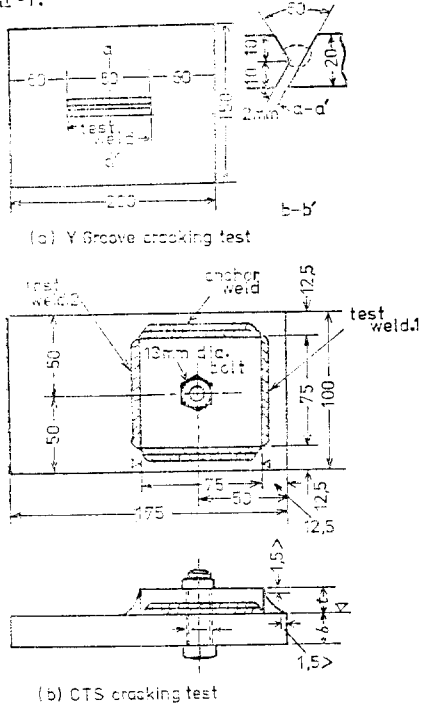


그림 3 自拘束形(self constraint)용접균열 試験.

以上의 試験法은 靜的 拘束試験法이지만, 그밖에 拘束度를 여러가지로 變化시켜가며 熔接균열 感受性을 試験할 수 있는 TRC(tensile restraint cracking)試験, RRC(rigid restraint cracking)試験, 또는 最近들어 利用되고 있는 임플란트(implant)試験 等이 있다⁶⁾.

이러한 各種 試験法 中 各 國家마다 使用하는 試験法이 다르기 때문에 IIW(國際熔接學會)에서는 熔接 균열 試験法을 國際的으로 整理統一하려는 움직임이 일고 있다.

2.4. 熔接균열의 防止 對策

熔接균열을 防止하기 為한 手段으로 熔接균열에 영향을 미치는 上述한 3要因들을 끌어서 하나의 합수로서 나타낼 수 있다면, 이러한 합수를 利用하면 균열 發生의 限界條件를 定量的으로 求할 수 있다. 이러한 目的으로 各種 指數가

提案되어 있으나 널리 使用되고 있는 P_w 指數와 P_{HM} 指數에 對해서 說明한다.

(1) 루우트 균열 感受性 指數 P_w

熔接低溫균열 發生의 主要因인 鋼材의 化學成分, 水素, 拘束條件의 3個項目을 끌은 다음과 같은 式이 提案되어 있다.

$$P_w = P_{CM} + \frac{t}{600} + \frac{H}{60} = P_{CM} + \frac{K}{40,000} + \frac{H}{60}$$

여기서 P_{CM} : 前述한 熔接균열 感受性 組成 %
 t (mm); 板 두께
 H (ml/100g); 熔接棒의 擴散性 水素量
 K (kg/mm·mm); 拘束度

熔接균열 發生의 限界條件은 一定한 條件에 依해 주어지는 上記 P_w 값과 熔接部의 冷却時間 t_c 와의 相關關係에 依해서 實驗的으로 求할 수 있다. 그림 4는 이러한 P_w 값과 熔接後의 冷

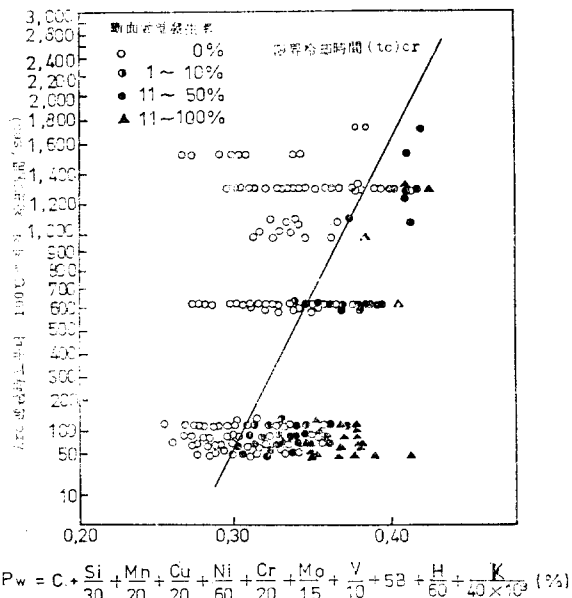


그림 4 P_w 값과 균열발생 한계냉각시간(t_c)과의 관계.

却速度와의 關係로부터 균열 發生 限界冷却時間 (t_c)_{cr}을 實驗的으로 求한 것이다. 即 균열 發生 限界條件은 여기서는 冷却時間이 되며, 이 冷却時間은 豫熱溫度를 調整함으로서 調整이 可能하며, 따라서 熔接균열을 防止할 수 있다.

이와 같은 實驗에서 다음과 같은 熔接 균열을

防止하기 為한 限界 豫熱 溫度가 導出된다.

$$\text{限界豫熱溫度} : T(^{\circ}\text{C}) = 1,440P_w - 392$$

(2) 루우트 균열 感受性 指數 P_{HM}

上記 P_w 指數는 그루우브 形狀과 熔接位置의 偏心度가 限界豫熱溫度 및 限界應力에 미치는 影響이 考慮되지 않았다. 이하한 것을 補完하여 새로운 指數 P_{HM} 이 提案되어 $P_{HM}-t_c$ 기준에 依해 熔接균열이 防止됨이 보고되어 있다⁷⁾.

$$P_{HM} = P_{CM} + 0.075 \log H + 0.15 \log(0.017K_t \cdot \sigma_w)$$

여기서 右邊의 第1項, 第2項은 前述한 定義와 같고 第3項은 熔接루우트部의 局部應力에 關한 項으로, 應力集中率(K_t)과 熔接金屬의 平均應力(σ_w)과의 積으로 주어진다. 熔接 루우트部의 應力集中率은 그루우브 形狀과 熔接位置의 偏心度에 따라 다르지만, 大略 다음 값을 利用하면 된다.⁸⁾

$$K_t \approx 5.8 \quad (45^{\circ} \text{ V 그루우브})$$

$$K_t \approx 4 \quad (60^{\circ} \text{ X, y, Y 그루우브})$$

또한 σ_w 는 拘束度 K 와 熔接金屬의 降伏應力 σ_y 의 比例로서 다음과 같이 주어진다.

$$\sigma_w = 0.050 K \quad (K \leq 20 \sigma_y)$$

$$\sigma_w = \sigma_y + 0.005(K - 20 \sigma_y) \quad (K > 20 \sigma_y)$$

以上과 같은 P_{HM} 指數를 利用하여 루우트 균열 發生 阻止 條件으로 100°C 까지의 限界 冷却時間(t_{100})_{cr}을 다음과 같이 提案하고 있다.

$$(t_{100})_{cr} = 10.5 \times 10^4 (P_{HM} - 0.276)^2$$

따라서 이하한 $(t_{100})_{cr}$ 값을 초과하도록 豫熱溫度를 調整해 주면 熔接균열은 防止된다.

3. 熔接部의 脆化

一般的으로 熔接部는 局部的으로 매우 짧은 時間동안 急熱, 急冷의 热 사이클을 받게 되므로 매우複雜한 變態組織, 結晶粒度 等治金學的 要因과 残留應力과 같은 力學的 要因이 중첩되어 있어 母材에 필적 할만한 破壞非性의 確保가 어려운 것으로 되어 있다.

그림 5는 國產 60 kg/mm^2 級 高張力鋼인 SM 58 Q 鋼母材에 對해 手動熔接과 서브머어지드 아아크 熔接을 實施한 경우 熔接部의 破壞非性值

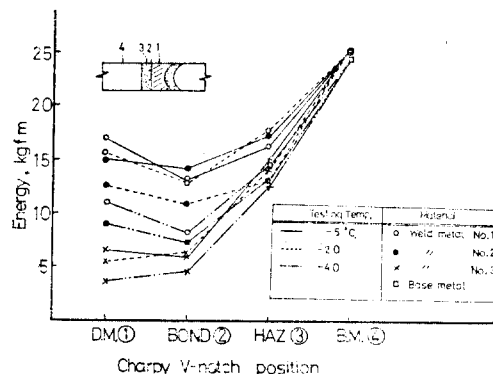


그림 5 手動熔接과 서브머어지드아아크 熔接部의 韌性 曲線(國產 SM 58 Q 鋼).

를 나타낸 것이다. 이에 依하면 試驗溫度에 關係없이 본드部가 가장 낮은 韌性值를 보이며 熔着金屬, HAZ, 母材의 順으로 增加함을 보이고 있다.⁹⁾

이상과 같이 熔接部 中에서도 본드部는 脆化가 가장 심하므로 본드部의 破壞非性은 곧 熔接部의 特性을 결정짓는다고 볼 수 있다. 一般的으로 熔接본드部는 $1,450^{\circ}\text{C}$ 以上으로 加熱毛溶融 凝固된 母材의 一部와 固體상태의 母材가 混在한 部分으로 매우 粗大한 結晶粒의 組織이 發達한 곳이다. 이러한 熔接 본드 근방의 破壞非性은 母材原質部와 熔着金屬의 경우나 마찬가지로 본드 근방의 結晶粒度 그리고 微視組織 및 炭化物, 窒化物 等의 析出物等에 依해 크게 支配된다.

熔接본드 부근의 組織은 熔接熱 사이클의 800°C 에서부터 500°C 까지의 冷却時間이 길어짐에 따라, 또한 같은 冷却時間의 경우는 合金元素量이 작아짐에 따라 다음과 같이 變化한다.

마르텐사이트 → 微細한 베이나이트 → 粗大한

베이나이트 → 페라이트 · 퍼얼라이트

良好한 破壞非性은 低炭素의 마르滕사이트와 微細한 베이나이트의 混合組織일 때 얻어지며, 粗大한 베이나이트 組織이 形成되면 韌性은 低下한다. 이와 같은 適正한 韌性의 組織을 얻기 为해서는 小試驗片에 熔接본드部의 热 사이클을 再現하여 얻어진 熔接用 連續 冷却 變態線圖(熔接用

解 説

SH-CCT 圖 : synthetic heat-affected zone-CCT diagram for welding)를 利用하면 편리하다.

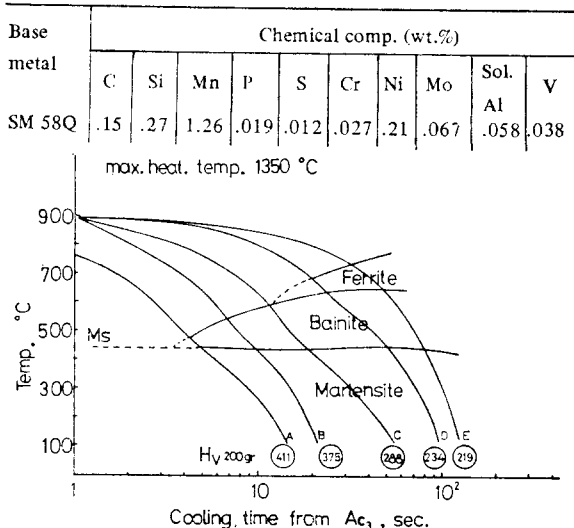


그림 6 國產 60 kg/mm² 級(SM58Q)鋼의 SH-CCT 曲線。

그림 6 은 國產 SM 58 Q 의 SH-CCT 線圖를 表示한 것으로⁹⁾ 800°~500°C 까지의 冷却速度가 100°C/sec 인 冷却曲線 A는 거의 大部分 마르렌사이트로 變態하지만, 冷却速度가 점차 느려지는 冷却曲線 B(50°C/sec)는 마르렌사이트, 베이나이트의 混合組織이 存在하며 熔接入熱量 2 kJ/mm에 상당하는 曲線 C(30°C/sec)에서는 베이나이트 組織이 大部分을 차지하고 있다. 또 한 冷却速度가 더욱 느려지면 (曲線 D,E)初析 페라이트 域이 存在하게 된다. 硬度는 마르렌사이트 變態域으로 부터 冷却時間의 增加에 따라 저하하여 페라이트가 析出하게 되는 時期에는 約 Hv 250 程度로 둡을 보이고 있다.

以上과 같은 高張力鋼材의 成分에 따른 각각의 SH-CCT 線圖를 利用하면 熔接時의 施工條件을 조정함으로서 적정한 韌性의 組織을 얻을 수 있다.

熔接入熱量의 制御는 熔接본드部의 脆化를 防止하는 데 매우 重要한 要素이다. 서보머어지드 아아크 熔接이나 일렉트로슬랙 熔接과 같은 大入熱 熔接時는 熔接본드部에 粗大한 베이나이트 組織이 形成되기 쉬워 현저한 韌性의 低下를 가

져오기 쉽다. 合金 元素量이 작은 HT50, HT60과 같은 高張力鋼의 경우는 大入熱熔接時 粗大한 베이나이트 組織에 페라이트 組織이 混在한 狀態로 나타나서 韌性 低下가 어느 程度 輕減되나, 合金元素量이 많은 HT 80 級 高張力鋼材의 경우는 韌性 低下가 현저하므로¹⁰⁾ 일렉트로슬랙 熔接이나 일렉트로가스 熔接과 같은 大入熱 熔接은 피하는 것이 좋다. 그러나 最近에는 Ni 을 多量 첨가한 大入熱 熔接用 高張力 鋼材도 開發되고 있다.

多層熔接의 경우는 上層비이드의 二次 熱 사이클에 依해 熔接본드部의 結晶粒이나 組織의 微細化를 가져와서 單層熔接에 比하여 良好한 韌性值를 나타낸다.

이밖에 酸素, 硫素, 인, 유황 等의 不純元素나 介在物의 低減도 破壞韌性의 改善效果가 크므로 이들에 對한 對策도 세워져야 한다.

4. 熔接後熱處理 脆化(SR 脆化)

熔接構造物의 應力 除去 풀립(SR:stress relief annealing)은 熔接 殘留應力의 除去, HAZ(熔接熱影響部)의 軟化, 韌性回復, 水素放出의 촉진等을 目적으로 보통의 炭素鋼에서는 600~650°C로 再加熱한 후 爐冷시키는 热處理이다. 軟鋼이나 50 kg/mm² 級 鋼의 경우, 炭素量이 많아지면 熔接한 상태에서는 HAZ 部의 硬化가 크고 韌性이 떨어지나 SR에 依해 뜨임 效果를 받아 韌性이 크게 向上된다. 한편 低炭素低合金의 高張力鋼에 있어서는 熔接한 그 상태에서는 어느 정도 韌性을 가지나 SR에 依한 熔接熱로 固溶한 元素의 析出 硬化가 일어나서, SR 處理를 行할 경우, 오히려 韌性이 低下하는 現象이 나타나서 이것이 殘留應力과 중첩되면 균열로까지 發展되는 경우도 많다. 이러한 現象을 SR 脆化 또는 균열로까지 發전된 경우는 SR 균열 (또는 再熱 균열)이라고 한다.

SR 脆化 現象의 要因으로서는 (1) 炭化物의 粒界凝聚, 粗大化 또는 球狀化 等에 依한 析出 (2) Mo₂C, TiC, NbC, NbN, TiN 等 炭化物,

窒化物의析出에 의한硬化(3) 300~550°C 근방의 온도域에서 가열 후徐冷한 경우의 뜨임脆性(4) C,N等의過時效脆性等을 들 수 있다.

또한 再熱脆性現象은 以上의要因에 热處理後冷却時熔接部의 應力集中現象(비이드 잉여높이 또는外的拘束狀態에依한)이 중첩될 때에發生한다.

調質 高張力鋼에서는 高强度를 얻기 위해 Mo, V, Ti, Nb等炭化物의 二次硬化析出을 利用하고 있으나, 이러한合金元素가 많을수록脆化現象은 현저하게 되므로, 이러한二次硬化析出元素의첨가를必要最少限으로 억제할必要가 있다.

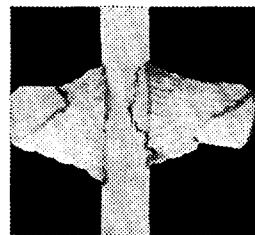
뜨임脆性은 热處理後徐冷 과정에서結晶粒界에 불순元素의 편석에 의해 일어나는 것으로 알려져 있으며, 이와 같은 불순元素로서는極微量의 P, Sb, As, Sn等을 들 수 있다. 이러한粒界편석을助長하는元素로서는 Si, Mn, Ni, Cr等이며 Mo가 0.5%以下에서는粒界편석을 억제하는作用을 하는 것으로 알려져 있다. 또한 이 뜨임脆性은組織이나結晶粒度의依存성이 크고, 마르텐사이트>微細한 베이나이트>粗大한 베이나이트>페라이트·퍼얼라이트의順으로脆化感受性이變化하며,結晶粒度가 클수록脆化감수성은 커진다.

以上과 같은考察에서, 熔接後热處理에依한脆化防止에는鋼板의成分調整以外에決定的方法이發見되지 않음을 알 수 있으나 最近國內에서프리스트레인(Pre-strain)狀態下에서熔接後热處理를 實施하여非性이向上되고 있음이 보고되어 앞으로 이 方面의研究가注目된다.¹¹⁾ 또한最近에이르러서는熔接構造物의使用目的 및 使用條件에 따라서는熔接後热處理를省略하여도 좋은高張力鋼材의開發이進行되어 SR脆化에依한문제점을 일으키지 않도록하는 경우도 많다.

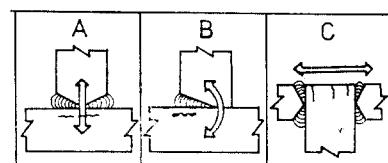
5. 라멜라테어(Lamellar Tear)

50 kg/mm²級以上의高張力鋼材를利用하

여 海洋構造物等大形의複雜한熔接構造物을組立할 경우, HAZ 또는 그근방에 라멜라테어라고하는壓延方向과平行한層狀의균열이發生하는경우가 많다. 그림7에 라멜라테어의形狀과 라멜라테어가 잘發生되는이음매의形狀을 나타낸다. 이러한라멜라테어의發生機構는熔接균열과는 또달리鋼材의製造過程中壓延에 의해길게늘려진非金屬介在物과熔接時發生된板두께方向의引張拘束應力이중첩되어發生하는것으로밝혀지고있다. 그림8은라멜라테어의發生과傳播과정을 나타낸것으



Shape of Lamellar Tear.



Type of Tearing

그림 7. 라멜라테어의形狀과 잘발생되는이음형식

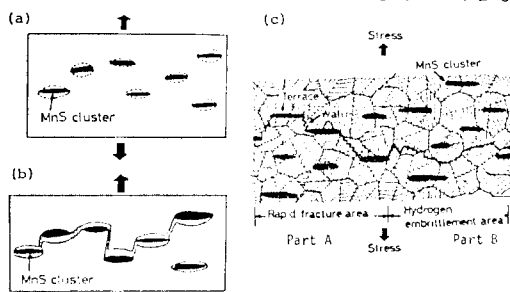


그림 8. 라멜라테어의傳播機構.

로外部의引張拘束應力を받아同時에여러곳에서介在物과母材와의사이에開口가일어나고이들이相互連結되어巨視的인라멜라테어로發展되고있음을보이고있다.以上과같은라멜라테어의發生機構로부터라멜라테어에關한對策은鋼材의材質的인面과熔接施工

□ 解

條件의 面에서 세워져야 함을 알 수 있다.

5.1. 高張力 鋼材의 材質

라벨라테어의 要因으로 作用하는 非金屬 介在物로서는 MnS 系가 가장 큰 要因으로 밝혀졌다. 그 밖에 SiO_2 系나 Al_2O_3 系도 要因으로 들 수 있으나 MnS 系가 主體인 경우가 대부분이다. MnS 系 介在物은 壓延에 依해 평평하게 늘려지기 쉽고 SiO_2 系 等에 比해 超音波를 투과하기 쉽기 때문에 상당히 큰 介在物이라도 超音波探傷으로 檢出하기 어렵다. 따라서 從來의 超音波探傷 試驗만으로는 라벨라테어가 發生되지 않도록 보장하기 어렵다.

以上과 같이 鋼材의 耐라벨라테어性을 非破壞試驗法으로 確認하기 어렵기 때문에 IIW에서는 双方向 方向(Z方向)引張延性試驗의 實施를 提案하고 있다.

鋼材의 S 含量은 라벨라테어와의 相關성이 높고 그 化學成分으로부터 直接 評價할 수 있으므로 하나의 指標로서 매우 有用하나 이 경우는 酸化物系 介在物이 고려되지 못한다는 難點이 있다.

두개方向 引張 延性 試驗은 當初 各國에서 여려가지의 方法이 提案되었으나 IIW에서 統一的인 試驗法을 檢討한 結果, 現在로서는 Z 方向 引張試驗에 依한 斷面收縮率이 採用되고 있다. 그러나 Z 方向 引張試驗片의 採取方法 및 그 칫수가 斷面收縮率에 영향을 끼치므로 이의 設定이 문제가 된다. 日本에서는 試驗片 直徑은 10~15mm로 함이 바람직하고 특히 板 두께가 60 mm 以下인 경우는 10 mm로 함이 바람직하다고 되어 있다. 試驗片 直徑을 10 mm로 할 경우 板 두께는 아아크 熔接의 경우 25 mm 以上, 마찰 熔接의 경우 15 mm(但 압접부 直徑 16 mm ϕ) 以上이면 適當한 結果가 얻어진다. 試驗片 採取요령의 例를 그림 9에 보인다¹²⁾.

以上과 같이 鋼材 評價의 指標로서는 S 含量과 Z 方向 斷面 收縮率의 두 가지를 同時에 考慮함이 좋으며 보통의 非調質 高張力鋼의 경우 50°C 예열의 被覆 아아크 熔接施工를 行한다.

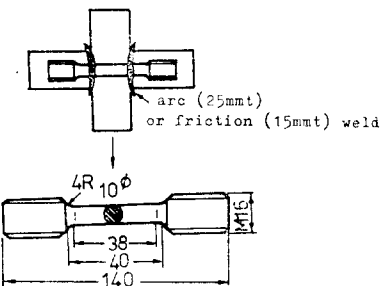


그림 9 두개方向 延性 試驗片採取 방법.

라벨라테어를 방지하기 為해서는 S 含量 0.01% 以下 Z 方向 斷面 收縮率 15~20%가 하나의 指標로서 생각되고 있다.¹³⁾

4.2. 實構造의 라벨라테어防止 條件

設定用 試驗

實構造物에서 發生할 수 있는 拘束條件을 再現하여 주어진 鋼材의 耐라벨라테어性을 評價하는 試驗法으로 Z型 원도우 試驗과 크랜필드형(cranfield type) 試驗法이 있다. 이 試驗요령을 그림 10에 보인다¹⁴⁾. 實構造物에 있어서의 主拘束狀態가 引張拘束인가 굽힘拘束인가를 구분하여 적당한 再現 시험법을 통하여 적절한 鋼材를 선택, 사용할 必要가 있다.

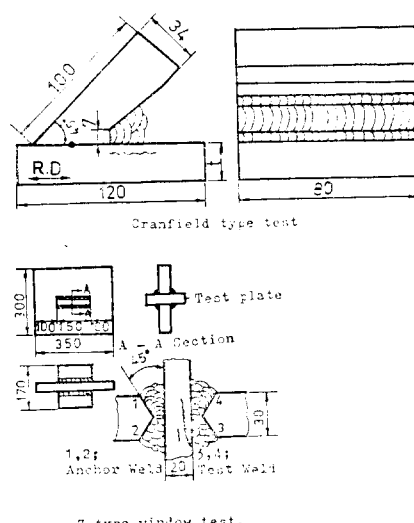


그림 10 라벨라테어의 再現 구속시험법.

以上과 같은各種試驗法을 통한 鋼材를 利用하여 熔接施工時は 壓延板材의 두께 방향으로 큰拘束이나 負荷가 걸리지 않도록 구조물을 될수록 간단화하고 각 이음부의 거리를 넓게 함이 必要하다. 熔接이음부의 形式으로는 T形 片側 필렛 이음부, 코너이음, 貫通이음대를 피하여 가능한 한 鋼材의 암연面 끼리의 맞대음 이음부로 함이 좋다. 같은 이음부 形式이라도 그루우브 形狀, 積層法等에 의해 拘束의 種類, 程度, 국부적인 용접스트레인 및 残留應力 분포가 변화하므로 주의할 必要가 있다. 熔接 施工時は 低水素 熔接法 및 熔接材料를 선택하여 적절한 예열 및 後熱 處理를 실시함이 좋다.

5. 結 言

以上에서 高張力 鋼材 熔接時의 問題點으로 熔接균열, 熔接部의 脆化, 라벨라테어에 關해 그 發生機構와 對策을 記述했다. 高張力鋼材 熔接構造物의 信賴性과 安全性을 確保하기 为해서는 設計, 施工 단계에서 上의 問題點에 關한 종합적인 評價와 配慮가 이뤄져야 한다.

高張力 鋼材는 그 強度를 높이기 为해 各種 合金元素를 첨가하거나 調質 热處理를 行하고 있기 때문에 熔接上에 어려움이 따르고 있다. 따라서 보다 使用性能이 우수한 構造物을 얻기 为해서는 強度가 높으면서도 熔接性이 우수한 高張力 鋼材의 開發이 先行되어야 한다.

우리나라에서도 現在 60kg/mm^2 級 高張力 鋼材가 生產되고 있거니와 앞으로 더욱 高強度의 大入熱 熔接用 鋼材의 開發에 많은 努力を 기울여야 할 것이다.

參 考 文 獻

- 1) 金永植: 熔接균열의 發生機構와 그 防止對策, 大韓機械學會誌, Vol. 20, No. 4, (1980) p. 276
- 2) 熔接學會: 熔接便覽, (改訂 3 版)丸善, (1977) p. 917
- 3) 稲垣, 伊藤: 高張力鋼 低溫用 鋼の溶接, 產報出版 (1978)p. 116
- 4) 辛政教, 金永植, 李載廷: 鋼 溶接部의 균열 發生과 그 防止에 關한 研究, 韓國船用機關學會誌 Vol. 5, No.2 (1981) p. 36
- 5) JSSC(日本 鋼構造協會)溶接割れ研究班, 鋼構造物における 溶接割れ 防止のための 豫熱條件の 選定について, JSSC, Vol.8, No.80(1972) p. 22
- 6) 金永植: 最近 熔接 技術의 發展과 그 問題點, 경북대학교산업개발연구소, 第 6 回 產學協同 Seminar 資料, (1981) p. 85
- 7) 百合岡, 矢竹等: 鋼材の溶接おくれ割れの研究(第一報), 熔接學會誌, Vol.48, No.12 (1979)p. 1028
- 8) 佐藤, 寺崎: ルート部の 應力集中率に およぼす 開先形狀, 板厚, ルート角度の 影響, 熔接學會誌 Vol.48, No.5 (1979) p. 298
- 9) 金永植, 李鍾鳳; 60kg/mm^2 級 調質 高張力鋼의 熔接性 研究, 大韓金屬學會誌 Vol.20, No.2(1982) p. 106
- 10) 坪井, 平井, 調質鋼熱影響部의 組織と韌性, 熔接學會誌, Vol.50, No.1(1981), p. 28
- 11) 林載奎, 鄭世喜; Pre-strain 狀態에서의 熔接後熱處理가 構造用鋼 熔接熱影響部의 破壞韌性에 미치는 影響, 大韓機械學會 1982 年度 春季學術大會 抄錄集, p. 53
- 12) 日本熔接協會 鐵鋼部會; 熔接用鋼選擇のための耐ラメラテア性評價に関する研究 1977 年度熔接學會春季 Symposium 資料 p. 52
- 13) 金擇, 山戶, 外: 鋼板의 耐ラメラテア性について 1977 年度 熔接學會春季 Symposium 資料 p. 58
- 14) 稲垣; 鋼構造의 ラメラテア에 關する 現狀と 課題, 熔接學會誌 Vol.47, No.1 (1978) p. 6